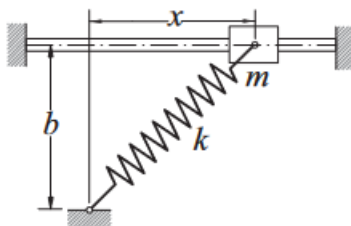


SPRAWOZDANIE

Aleksandra Rusak

Fizyka medyczna

Zadanie 13/214



The mass m is attached to a spring of free length b and stiffness k . The coefficient of friction between the mass and the horizontal rod is μ . The acceleration of the mass can be shown to be (you may wish to prove this) $\ddot{x} = -f(x)$, where

$$f(x) = \mu g + \frac{k}{m}(\mu b + x) \left(1 - \frac{b}{\sqrt{b^2 + x^2}} \right)$$

If the mass is released from rest at $x = b$, its speed at $x = 0$ is given by

$$v_0 = \sqrt{2 \int_0^b f(x) dx}$$

Compute v_0 by numerical integration using the data $m = 0.8$ kg, $b = 0.4$ m, $\mu = 0.3$, $k = 80$ N/m, and $g = 9.81$ m/s².

Cel zadania:

Znaleźć v_0 poprzez całkowanie numeryczne korzystając z danych podanych w treści zadania.

Teoria:

Całkowanie numeryczne – wzory całkowania numerycznego pozwalają na obliczenie przybliżonej wartości całki

$$I(f) = \int_a^b f(x) dx = F(b) - F(a) \quad (1)$$

Podstawiając w miejsce funkcji podcałkowej $f(x)$ wielomian algebraiczny

$$\varphi(x) = f_0 N_0(x) + f_1 N_1(x) + \dots + f_n N_n(x) = \sum_{i=0}^n f_i N_i(x) \quad (2)$$

otrzymamy tzw. wzór kwadraturowy.

Kwadratura całkowania – wzorem kwadraturowym (kwadraturą) nazywamy:

$$I(f) = \int_a^b f(x) dx \approx \int_a^b \varphi(x) dx = \sum_{i=0}^n f_i \int_a^b N_i(x) dx = \sum_{i=0}^n w_i f_i = S(f) \quad (3)$$

w którym

$$w_i = \int_a^b N_i(x) dx, \quad i = 0, 1, 2, \dots, n \quad (4)$$

są tzw. współczynnikami wagowymi (wagami). Wartość w_i określa wielkość udziału rzędnej $f_i \equiv f(x_i)$ w wartości całej sumy $S(f)$.

W zależności od sposobu postępowania przy wyborze położenia węzłów interpolacji w przedziale całkowania kwadratury dzielimy na dwie grupy:

1. kwadratury Newtona - Cotesa, węzły są rozmieszczone równomiernie w całym przedziale całkowania (zamknięte końce);
2. kwadratury Gaussa, węzły są rozmieszczone nierównomiernie, tak aby zminimalizować błąd kwadratury (otwarte końce).

Kwadratury Newtona – Cotesa:

- Wzór prostokątów – po zastosowaniu interpolacji funkcji podcałkowej $f(x)$ za pomocą wielomianu

$$\varphi(x) = f(x_0) = \text{const.} \quad (5)$$

otrzymujemy:

$$I(f) = \int_a^b f(x) dx \approx \int_a^b f(x_0) dx \rightarrow S(f) = (b - a) f(x_0) \quad (6)$$

W zależności od wyboru położenia węzła x_0 otrzymujemy wzory:

- a) lewych prostokątów, gdy $x_0 = a$
- b) środkowych prostokątów, gdy $x_0 = \frac{(a+b)}{2}$
- c) prawych prostokątów, gdy $x_0 = b$

- wzór trapezów – jeśli do interpolacji funkcji $f(x)$ zastosujemy interpolację za pomocą wielomianu liniowego Lagrange’a, to otrzymamy wzór kwadraturowy, nazywany wzorem trapezów.

$$I(f) = \int_a^b f(x) dx \approx \int_a^b [f_0 L_0 + f_1 L_1] dx = \int_a^b \left[f(a) \frac{x-b}{a-b} + f(b) \frac{x-a}{b-a} \right] dx \rightarrow S(f) = \frac{b-a}{2} [f(a) + f(b)] \quad (7)$$

- wzór Simpsona – zastosowanie kwadraturowej interpolacji Lagrange’a prowadzi do wzoru:

$$\int_a^b f(x) dx \approx \int_a^b [f_0 L_0 + f_1 L_1 + f_2 L_2] dx = \int_a^b \left[f_0 \frac{(x-c)(x-b)}{(a-c)(a-b)} + f_1 \frac{(x-a)(x-b)}{(c-a)(c-b)} + f_2 \frac{(x-a)(x-c)}{(b-a)(b-c)} \right] dx \quad (8)$$

Ostatecznie kwadratura (wzór) Simpsona przyjmuje postać:

$$\int_a^b f(x)dx \approx \frac{1}{3}h(f_0 + 4f_1 + f_2) = S(f), \quad h = \frac{b-a}{2} \quad (9)$$

Wzór Simpsona jest rzędu czwartego, co oznacza, że jest dokładny nie tylko dla wielomianów stopnia drugiego, lecz także dla wielomianów stopnia trzeciego tzn. $I(W_3)=S(W_3)$ oraz $I(W_4) \neq S(W_4)$.

Kwadratury Gaussa – dokładność kwadratury można zwiększyć rezygnując z warunku równomiernego rozmieszczenia węzłów interpolacji. Wartości wag oraz położenia węzłów całkowania ustala się tak aby kwadratura całkowania przybliżona była wzorem dokładnym dla jednomianu możliwie wysokiego stopnia.

$$\sum_{i=0}^n w_i x_i^k = \int_a^b x^k dx, \quad k = 0, 1, 2, \dots, 2n+1 \quad (10)$$

W praktyce wagi i punkty Gaussa nie wyznacza się z powyższego warunku. Są one stabilizowane dla rodziny pewnych wielomianów ortogonalnych (z wagą) w przedziale $<-1, 1>$.

<i>l.p.</i>	$\xi_i, \quad i = 0, \dots, n$	$w_i, \quad i = 0, \dots, n$
1	$\xi_0 = 0$	$w_0 = 2$
2	$\xi_0 = +1/\sqrt{3}$ $\xi_1 = -1/\sqrt{3}$	$w_0 = 1$ $w_1 = 1$
3	$\xi_0 = +\sqrt{0.6}$ $\xi_1 = 0$ $\xi_2 = -\sqrt{0.6}$	$w_0 = 5/9$ $w_1 = 8/9$ $w_2 = 5/9$
4	$\xi_0 = +0.86113631$ $\xi_1 = +0.33998104$ $\xi_2 = -0.33998104$ $\xi_3 = -0.86113631$	$w_0 = 0.34785485$ $w_1 = 0.65214515$ $w_2 = 0.65214515$ $w_3 = 0.34785485$

W ogólnym przypadku gdy liczymy całkę z dowolnego przedziału (a,b), konieczna jest transformacja liniowa między danym przedziałem a przedziałem $<-1, 1>$, tak aby można było zastosować dane z tabeli. Wzory na transformację $(a, b) \rightarrow <-1, 1>$:

$$\xi = \frac{2x - a - b}{b - a} \Leftrightarrow x = \frac{a + b}{2} + \frac{b - a}{2} \xi \quad (11)$$

$$d\xi = \frac{2}{b - a} dx \Leftrightarrow dx = \frac{b - a}{2} d\xi \quad (12)$$

co daje:

$$\int_a^b f(x)dx = \frac{b-a}{2} \int_{-1}^1 f\left(\frac{a+b}{2} + \frac{b-a}{2} \xi\right) d\xi \quad (13)$$

oraz wzór kwadraturowy Gaussa:

$$\int_a^b f(x)dx \approx \frac{b-a}{2} \sum_{i=0}^n w_i f\left(\frac{a+b}{2} + \frac{b-a}{2} \xi_i\right) \quad (14)$$

Wzory złożone (sumacyjne) – bardzo skutecznym sposobem podwyższania dokładności całkowania numerycznego jest dokonanie podziału przedziału $[a, b]$ na podprzedziały $[a_j, b_j], j = 1, 2, \dots, N$ przy zachowaniu związków:

$$a_1 = a, b_N = b, b_i = a_{i+1}, i = 1, 2, \dots, N-1 \quad (15)$$

Teraz można zapisać:

$$I(f) = \int_a^b f(x)dx = \sum_{j=1}^N \int_{a_j}^{b_j} f(x)dx = I_1(f) + I_2(f) + \dots + I_N(f) \quad (16)$$

Do obliczania każdego składnika $I_i(f)$ sumy można wykorzystać dowolny wzór kwadraturowy.

Metoda lewych, środkowych i prawych prostokątów:

- a) $\int_a^b f(x)dx \approx H \sum_{j=1}^N f(x_{j-1}) = H(f_0 + f_1 + f_2 + \dots + f_{N-1})$
- b) $\int_a^b f(x)dx \approx H \sum_{j=1}^N f\left(\frac{x_{j-1} + x_j}{2}\right) = H(f_{0.5} + f_{1.5} + f_{2.5} + \dots + f_{N-0.5})$
gdzie $f_{j-0.5} = f\left(\frac{x_{j-1} + x_j}{2}\right), j = 1, 2, \dots, N$
- c) $\int_a^b f(x)dx \approx H \sum_{j=1}^N f(x_j) = H(f_1 + f_2 + \dots + f_N)$

Metoda trapezów:

$$\int_a^b f(x)dx \approx \frac{1}{2}H \sum_{j=1}^N [f(x_{j-1}) + f(x_j)] = H\left(\frac{1}{2}f_0 + f_1 + f_2 + \dots + \frac{1}{2}f_N\right) \quad (17)$$

lub

$$\int_a^b f(x)dx \approx H\left[\frac{1}{2}f_0 + \sum_{j=1}^{N-1} f_j + \frac{1}{2}f_N\right] \quad (18)$$

Metoda Simpsona:

$$\int_a^b f(x)dx \approx \frac{1}{3}H[(f_0 + f_N) + 4(f_1 + f_3 + \dots + f_{N-1}) + 2(f_2 + f_4 + \dots + f_{N-2})] \quad (19)$$

przy czym $H = \frac{x_N - x_0}{N}$, N – liczba parzysta.

Metoda Gaussa:

$$\int_a^b f(x)dx \approx \frac{1}{2} \frac{b-a}{N} \sum_{j=1}^N \sum_{i=0}^{l_{pc}=2} w_i f(X_i) \quad (20)$$

gdzie

$$X_i = \frac{x_j + x_{j+1}}{2} + \frac{x_{j+1} - x_j}{2} \xi_i \quad (21)$$

Metody Rungego-Kutty – w metodach tych nachylenie szacowane jest na podstawie kilku punktów wewnątrz przedziału. Różne metody RK klasyfikowane są ze względu na ich rząd (odpowiadający liczbie punktów wziętych do szacowania nachylenia).

Metody Rungego-Kutty drugiego rzędu:

$$y_{i+1} = y_i + (c_1 K_1 + c_2 K_2)h \quad (22)$$

gdzie:

$$K_1 = f(x_i, y_i)$$

$$K_2 = f(x_i + a_2 h, y_i + b_{21} h K_1)$$

Stałe c_1, c_2, a_2, b_{21} zależą od wybranej metody drugiego rzędu.

Zmodyfikowana metoda Eulera w postaci metody RK drugiego rzędu:

$$c_1 = \frac{1}{2}, c_2 = \frac{1}{2}, a_2 = 1, b_{21} = 1$$

$$y_{i+1} = y_i + \frac{1}{2}(K_1 + K_2)h \quad (23)$$

gdzie:

$$K_1 = f(x_i, y_i)$$

$$K_2 = f(x_i + h, y_i + hK_1)$$

$$y_{i+1} = y_i + h \frac{f(x_i, y_i) + f(x_{i+1}, y_{i+1})}{2}$$

Metoda Rungego-Kutty czwartego rzędu:

$$y_{i+1} = y_i + (c_1K_1 + c_2K_2 + c_3K_3 + c_4K_4)h \quad (24)$$

gdzie:

$$K_1 = f(x_i, y_i)$$

$$K_2 = f(x_i + a_2h, y_i + b_{21}hK_1)$$

$$K_3 = f(x_i + a_3h, y_i + b_{31}hK_1 + b_{32}hK_2)$$

$$K_4 = f(x_i + a_4h, y_i + b_{41}hK_1 + b_{42}hK_2 + b_{43}hK_3)$$

Rozwiązanie zadania:

Zadanie zaczynamy od obliczenia całki numerycznie za pomocą metody Newtona-Cotesa (kwadratury trapezoidalnej). Używamy `scipy.integrate.quad` do obliczenia numerycznej całki oznaczonej zadanej funkcji w granicach od 0 do b . Zgodnie ze wzorem na v_0 otrzymany wcześniej wynik z całki pierwiastkujemy. Następnie definiujemy układ równań różniczkowych, który opisuje ruch masy oraz ustalamy warunki początkowe ($x(t=0)$, $v(t=0)$), $\ddot{x} = -f(x)$. Do rozwiązania równań różniczkowych wykorzystujemy `scipy.integrate.solve_ivp`. Określamy: przedział czasu od 0 do b , warunki początkowe, ilość punktów czasowych oraz metodę numeryczną. Wykorzystujemy metodę Rungego-Kutty czwartego rzędu. Na koniec rysujemy wykresy zależności $x(t)$ oraz $v(t)$.

W kodzie wykorzystaliśmy następujące biblioteki:

- `numpy` (operacje numeryczne),
- `scipy.integrate.quad` (obliczenia numerycznej całki),
- `scipy.integrate.solve_ivp` (rozwiązywanie układu równań różniczkowych),
- `matplotlib.pyplot` (stworzenie wykresu).

Kod w Pythonie wykorzystany do obliczeń wygląda następująco:

```

import numpy as np
from scipy.integrate import quad, solve_ivp
import matplotlib.pyplot as plt

m = 0.8
b = 0.4
μ = 0.3
k = 80
g = 9.81

def f(x):
    return μ * g + (k / m) * (μ * b + x) * (1 - b / np.sqrt(b**2 + x**2))

integral_result, _ = quad(lambda x: 2 * f(x), 0, b)
v0 = np.sqrt(integral_result)

def system_equations(t, y):
    x, v = y
    acceleration = -f(x)
    return [v, acceleration]

initial_conditions = [b, 0]
solution = solve_ivp(system_equations, [0, b], initial_conditions, t_eval=np.linspace(0, b, 1000), method='RK45')

plt.figure(figsize=(10, 6))
plt.plot(solution.t, solution.y[0], label='x(t)')
plt.plot(solution.t, solution.y[1], label='v(t)')
plt.title('Rozwiązanie równań różniczkowych')
plt.xlabel('Czas (s)')
plt.ylabel('Wartość')
plt.legend()
plt.grid(True)
plt.show()

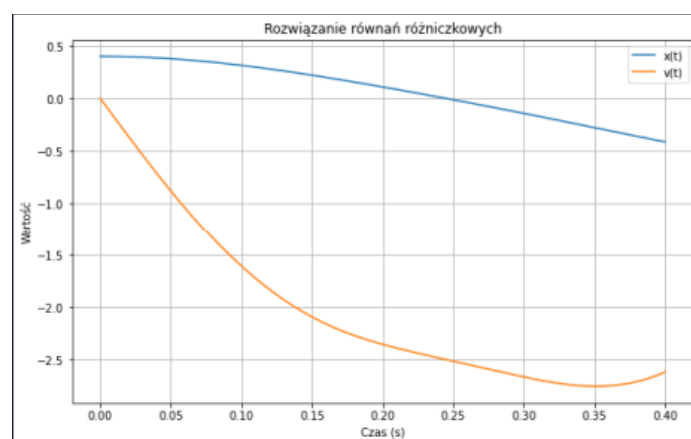
print(f"Prędkość przy x = 0 wynosi około {v0:.2f} m/s")

```

Rys. 1. Kod wykorzystany do obliczenia zadania w Pythonie.

Ostatecznie otrzymujemy wynik równy: $v_0 = 2.50 \frac{\text{m}}{\text{s}}$.

oraz następujący wykres zależności $x(t)$ oraz $v(t)$:



Rys. 2. Wykres zależności $x(t)$ oraz $v(t)$.

Literatura:

<https://www.cce.pk.edu.pl/~pplucin/ms/lib/exe/fetch.php?media=pl:wyciag1011.pdf>

https://www.if.pw.edu.pl/~agatka/numeryczne/wyklad_08.pdf

https://ccfd.github.io/courses/info2_lab04.html